



UNIVERSITÄTS-
BIBLIOTHEK
PADERBORN

Handbuch der Vermessungskunde

Jordan, Wilhelm

Stuttgart, 1896

§. 103. Die reduzierte Breite

[urn:nbn:de:hbz:466:1-83087](#)

Dieses grosse in sich widerspruchsfrei geodätisch ausgeglichene Werk, welches für alle praktischen Vermessungszwecke in ganz Preussen einheitliche widerspruchsfreie Coordinaten und Abrisse liefert, ist ein Werk, welches seinesgleichen kaum in einem anderen Staate haben wird, welches jeden Landmesser mit Freude erfüllen muss, der auf irgend welchem Teile desselben und in irgend einer der Formen, in welchen die Ergebnisse desselben noch verwertet werden können, mitzuwirken berufen sein wird.

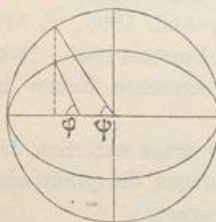
Kapitel IX.

Polar-Dreieck mit reduzierten Breiten.

§ 103. Die reduzierte Breite.

Eine neue Behandlung der geodätischen Linie bekommen wir durch Einführung eines sphärischen Hilfsdreiecks mit „reduzierten Breiten“. Es ist das eine Theorie, welche bei Berechnung sehr langer geodätischer Linien eine wichtige Rolle spielt.

Fig. 1.



Wir betrachten mit Fig. 1. einen Hilfswinkel, der „reduzierte Breite“ heisst, und den wir im Folgenden allgemein mit ψ bezeichnen wollen, während die geographische Breite wie immer mit φ bezeichnet werden soll.

Man kann die gewöhnliche Ellipsen-Gleichung zur Einführung von ψ benützen, denn wenn für die Ellipse die Gleichung besteht:

$$\frac{x^2}{a^2} + \frac{y^2}{b^2} = 1 \quad (1)$$

so kann man unbedingt setzen:

$$\frac{x}{a} = \cos \psi \quad , \quad \frac{y}{b} = \sin \psi \quad (2)$$

Dabei ist nach (16) § 32. S. 196:

$$\frac{x}{a} = \frac{\cos \varphi}{W} \quad , \quad \frac{y}{b} = \frac{y}{a\sqrt{1-e^2}} = \frac{\sin \varphi}{W} \sqrt{1-e^2} \quad (3)$$

$$\text{also: } \cos \psi = \frac{\cos \varphi}{W} \quad , \quad \sin \psi = \frac{\sin \varphi}{W} \sqrt{1-e^2} \quad (4)$$

$$\text{wobei gesetzt ist: } W = \sqrt{1 - e^2 \sin^2 \varphi} \quad (5)$$

Die geometrische Bedeutung des so eingeführten Winkels ψ ist durch Fig. 1. veranschaulicht, man wird auf die Hilfsbreite ψ auch geführt durch eine bekannte Ellipsen-Konstruktion, bei welcher zwei konzentrische Kreise mit den Halbmessern a und b benutzt werden.

Eine zweite Veranlassung zur Einführung der reduzierten Breite haben wir in dem Satze von der geodätischen Linie, den wir in (11) § 69. S. 378 gefunden haben, nämlich:

$$p \sin \alpha = k \quad (6)$$

wo p der Parallelkreis-Halbmesser des Umdrehungs-Ellipsoids ist, d. h. derselbe Wert, der in (1) und (2) mit x bezeichnet wurde, man hat also:

$$p = x = \frac{a \cos \varphi}{W} = a \cos \psi, \text{ d. h. } \cos \psi = \frac{\cos \varphi}{W} \quad (7)$$

Der dadurch bestimmte Wert ψ ist derselbe, den wir schon in (4) kennen gelernt und reduzierte Breite genannt haben. Damit giebt die Gleichung (6):

$$a \cos \psi \sin \alpha = a \cos \psi' \sin \alpha' = k \quad (8)$$

Die letzte Gleichung ist eine Anwendung des Satzes (6) auf zwei zusammengehörige Wertpaare ψ, α und ψ', α' ; und indem man dabei den konstanten Faktor a und das allgemeine Zeichen k fortlässt, hat man aus (6) oder (8):

$$\cos \psi \sin \alpha = \cos \psi' \sin \alpha' \quad (9)$$

Dieser Gleichung (9) entspricht ein sphärisches Dreieck, das wir in Fig. 2. des nächsten § 104. näher betrachten wollen; und damit erlangt die reduzierte Breite ψ , welche nun als Repräsentant des sphäroidischen Parallelkreis-Halbmessers $p = x$ in Gleichung (7) erscheint, erhöhte Bedeutung.

Wir haben also durch die Gleichung (7) ausführlicher:

$$\cos \psi = \frac{\cos \varphi}{W} \quad (\text{wo } W = \sqrt{1 - e^2 \sin^2 \varphi}) \quad (10)$$

oder auch mit Einführung von $V = W: \sqrt{1 - e^2}$ wie immer nach (1) und (2), S. 202 bis 203:

$$\cos \psi = \frac{\cos \varphi}{V \sqrt{1 - e^2}} \quad (\text{wo } V = \sqrt{1 + e'^2 \cos^2 \varphi}) \quad (11)$$

Daraus findet man durch geometrische Umformung:

$$\sin \psi = \frac{1}{V} \sin \varphi \quad \text{und} \quad \cos \varphi = \frac{\cos \psi}{\sqrt{1 + e'^2 \sin^2 \psi}} \quad (12)$$

$$\tan \psi = \tan \varphi \sqrt{1 - e^2}, \quad \text{oder} \quad \tan \varphi = \tan \psi \sqrt{1 + e'^2} \quad (13)$$

Wir brauchen auch noch die Differentialbeziehung zwischen φ und ψ , welche sich am einfachsten aus (13) ergiebt, nämlich:

$$\frac{d \psi}{\cos^2 \psi} = \frac{d \varphi \sqrt{1 - e^2}}{\cos^2 \varphi} \quad (14)$$

also wegen (11):

$$\frac{d \varphi}{d \psi} = V^2 \sqrt{1 - e^2} \quad (14)$$

Aus (11) findet man auch: $V^2 = \frac{1}{1 + e'^2 \sin^2 \psi}$

$$\text{und} \quad V = \sqrt{1 + e'^2 \cos^2 \varphi} = \frac{1}{\sqrt{1 - e^2 \cos^2 \psi}} \quad (15)$$

Die geometrische Bedeutung von V^2 ist, nach (25) S. 197, das Haupt-Krümmungsverhältnis, d. h. das Verhältnis der beiden Haupt-Krümmungs-Halbmesser N und M in einem Punkte des Ellipsoids mit der Breite φ ; und die Formel (15), welche nun V^2 bzw. V auch als Funktion von ψ giebt, ist für spätere Anwendung wichtig.

Numerische Berechnung von $\varphi - \psi$.

Um zu gegebenem φ das zugehörige ψ zu berechnen oder umgekehrt, kann man zuerst die Gleichung (13) anwenden:

$$\tan \psi = \tan \varphi \sqrt{1 - e^2} \quad (\log \sqrt{1 - e^2} = 9.9985458202) \quad (16)$$

Wenn man aber besondere Zahlschärfe wünscht, so wird es besser sein, auf die Differenz $\varphi - \psi$ geradezu auszugehen, und hiezu hat man nach (12) und (11):

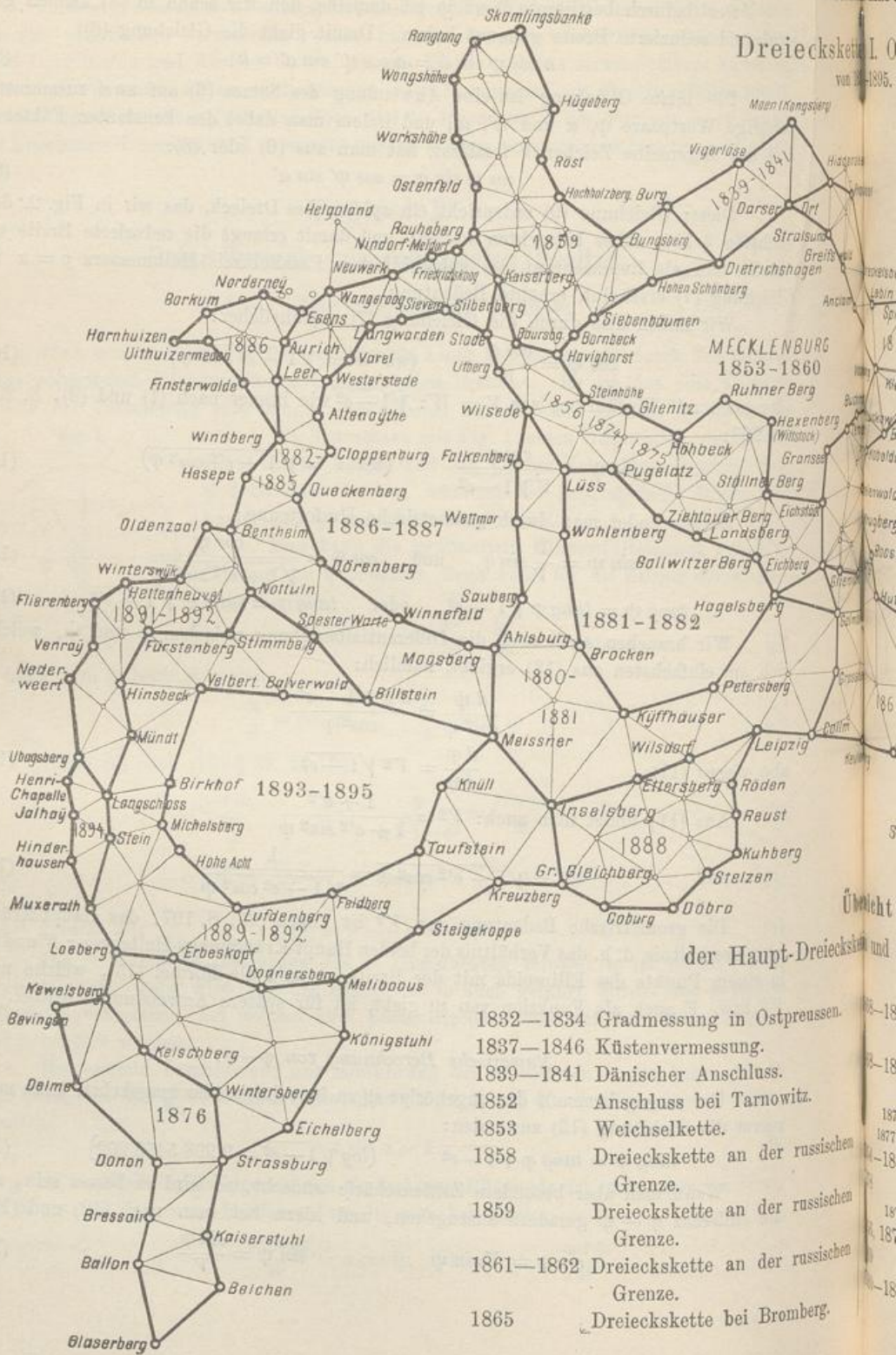
$$\sin \varphi = V \sin \psi \quad \sin \psi = \frac{\sin \varphi}{V} \quad (17)$$

Preussische Lands-Ti

Übersichtskarte

Dreieckskelett L. O

卷之三



- | | |
|-----------|---|
| 1832—1834 | Gradmessung in Ostpreussen. |
| 1837—1846 | Küstenvermessung. |
| 1839—1841 | Dänischer Anschluss. |
| 1852 | Anschluss bei Tarnowitz. |
| 1853 | Weichselkette. |
| 1858 | Dreieckskette an der russischen Grenze. |
| 1859 | Dreieckskette an der russischen Grenze. |
| 1861—1862 | Dreieckskette an der russischen Grenze. |
| 1865 | Dreieckskette bei Bromberg. |

Land-Triangulation.

Übersichtskarte

sket I. Ordnung

von 1845.

1845

1846

1847

1848

1849

1850

1851

1852

1853

1854

1855

1856

1857

1858

1859

1860

1861

1862

1863

1864

1865

1866

1867

1868

1869

1870

1871

1872

1873

1874

1875

1876

1877

1878

1879

1880

1881

1882

1883

1884

1885

1886

1887

1888

1889

1890

1891

1892

1893

1894

1895

1896

1897

1898

1899

1900

1901

1902

1903

1904

1905

1906

1907

1908

1909

1910

1911

1912

1913

1914

1915

1916

1917

1918

1919

1920

1921

1922

1923

1924

1925

1926

1927

1928

1929

1930

1931

1932

1933

1934

1935

1936

1937

1938

1939

1940

1941

1942

1943

1944

1945

1946

1947

1948

1949

1950

1951

1952

1953

1954

1955

1956

1957

1958

1959

1960

1961

1962

1963

1964

1965

1966

1967

1968

1969

1970

1971

1972

1973

1974

1975

1976

1977

1978

1979

1980

1981

1982

1983

1984

1985

1986

1987

1988

1989

1990

1991

1992

1993

1994

1995

1996

1997

1998

1999

2000

2001

2002

2003

2004

2005

2006

2007

2008

2009

2010

2011

2012

2013

2014

2015

2016

2017

2018

2019

2020

2021

2022

2023

2024

2025

2026

2027

2028

2029

2030

2031

2032

2033

2034

2035

2036

2037

2038

2039

2040

2041

2042

2043

2044

2045

2046

2047

2048

2049

2050

2051

2052

2053

2054

2055

2056

2057

2058

2059

2060

2061

2062

2063

2064

2065

2066

2067

2068

2069

2070

2071

2072

2073

2074

2075

2076

2077

2078

2079

2080

2081

2082

2083

2084

2085

2086

2087

2088

2089

2090

2091

2092

2093

2094

2095

2096

2097

2098

2099

2100

2101

2102

2103

2104

2105

2106

2107

2108

2109

2110

2111

2112

2113

2114

2115

2116

2117

2118

2119

2120

2121

2122

2123

2124

2125

2126

2127

2128

2129

2130

2131

2132

2133

2134

2135

2136

2137

2138

2139

2140

2141

2142

2143

2144

2145

2146

$$\cos \varphi = V \sqrt{1-e^2} \cos \psi \quad \cos \psi = \frac{\cos \varphi}{V \sqrt{1-e^2}} \quad (18)$$

Nun ist $\sin(\varphi - \psi) = \sin \varphi \cos \psi - \cos \varphi \sin \psi$; dieses kann man in zweifacher Weise auf (17) und (18) anwenden, wodurch man findet:

$$\sin(\varphi - \psi) = \sin 2 \varphi \frac{1 - \sqrt{1-e^2}}{2 V \sqrt{1-e^2}} \quad (19)$$

oder: $\sin(\varphi - \psi) = \sin 2 \psi \frac{V}{2} (1 - \sqrt{1-e^2}) \quad (20)$

Hiebei ist V je nach der einen oder anderen Form von (15) zu benützen.

Zur Anwendung von (19) und (20) hat man von (7) S. 180 und S. 192 unten:

$$\log(1 - \sqrt{1-e^2}) = \log \alpha = 7.524 1069 \cdot 093 \quad (21)$$

Indem man noch zum Übergang von $\log \sin(\varphi - \psi)$ auf $\log(\varphi - \psi)$ die Formel für $\log \sin x$ S. 173 benutzt, bekommt man aus (19) und (21):

$$\log(\varphi - \psi) = \log \frac{\sin 2 \varphi}{V} + 2.538 9562 \cdot 266 + [5.23078] (\varphi - \psi)^2 \quad (22)$$

wobei [5.23078] der Coefficienten-Logarithmus für 7te Logarithmenstelle ist.

Hiernach kann man in der äussersten Schärfe rechnen, z. B.:

Gegeben Berlin $\varphi = 52^\circ 30' 16,7''$, $2\varphi = 105^\circ 0' 33,4''$

Damit giebt die Hilfstafel auf Seite [5] des Anhangs $\log V = 0.000 5399 \cdot 278$, und wenn man im übrigen nach der vorstehenden Formel (22) rechnet, so erhält man:

$\log \sin 2 \varphi$	2.538 9562 · 266
$\log 1 : V$	9.984 9249 · 285
	9.999 4600 · 722
	2.523 3412 · 273

hiezu das letzte Glied von (22): $+ 1.894$

$\varphi - \psi = 5' 33,68864''$	$\log(\varphi - \psi) = 2.523 3414 \cdot 167$
$\varphi = 52^\circ 30' 16,70000''$	$\varphi - \psi = 333,68864$
$\psi = 52^\circ 24' 43,01136''$	

(23)

Mit so vielen Dezimalen wird man natürlich im allgemeinen nicht rechnen, wir haben aber diese scharfe Rechnung hier geführt, um sie zugleich als Kontrolle für das nachfolgende Näherungs-Verfahren zu benützen.

Die beste Form zur numerischen Berechnung von $\varphi - \psi$ aus gegebenen φ oder ψ erhält man durch eine Reihen-Entwicklung nach dem Grundsätze des Mittelarguments (§ 29, S. 178—179). Nach (13) ist:

$$\tan \psi = \sqrt{1-e^2} \tan \varphi = \left(1 - \frac{e^2}{2} - \frac{e^4}{8}\right) \tan \varphi$$

andererseits $\tan \varphi - \tan \psi = \frac{\varphi - \psi}{\cos^2 \mu} + (\varphi - \psi)^3 \dots$ mit $\frac{\varphi - \psi}{2} = \mu$

damit wird: $\varphi - \psi = \left(\frac{e^2}{2} + \frac{e^4}{8}\right) \cos^2 \mu \tan \varphi$, $\varphi = \mu + \frac{e^2}{4} \sin \mu \cos \mu$

woraus weiter: $\varphi - \psi = \left(\frac{e^2}{4} + \frac{e^4}{8}\right) \sin(\varphi + \psi)$

Dieses kann man noch um einen Grad weiter treiben, was hier nicht ausführlich angegeben wird, wodurch man erhält (mit Zusetzung von ϱ''):

$$\varphi - \psi = \left(\frac{e^2}{4} + \frac{e^4}{8} + \frac{5}{64} e^6 \right) \varrho'' \sin(\varphi - \psi) + \frac{1}{384} e^6 \varrho'' \sin^3(\varphi + \psi) \quad (24)$$

Mit Bessels Excentricität $\log e^2 = 7,824\,4104\cdot237$ giebt dieses ausgerechnet:

$$\begin{aligned} \varphi - \psi &= 345,325\,3808 \sin(\varphi + \psi) + 0,000\,160 \sin^3(\varphi + \psi) \\ (\log &= 2,538\,2285\cdot0) \qquad \qquad \qquad (\log = 6,2033) \end{aligned} \quad (25)$$

Das zweite Glied mit höchstens $0,00016''$ ist für gewöhnlich zu vernachlässigen. Um die Formel (25) bequem anzuwenden, muss man einen Näherungswert von $\varphi - \psi$ vorher haben, und ein solcher wird durch unsere Hilfstafel Seite [58] des Anhangs geliefert; die Anwendung mag ein Beispiel zeigen:

$$\begin{array}{ll} \text{Gegeben Berlin} & \varphi = 52^\circ 30' 16,7'' \\ \text{Hiezu nach S. [58]: } \varphi - \psi & = 5' 33,65'' \text{ genähert} \end{array}$$

$$\begin{array}{r|l} \psi = 52^\circ 24' 43,05'' \\ \varphi + \psi = 104^\circ 54' 59,75'' \\ \hline \log \sin(\varphi + \psi) & 9,985\,1126,8 \\ \log 345,3\dots & 2,538\,2285,0 \\ \hline \log 345,3\dots \sin(\varphi + \psi) & 2,523\,3411,8 \end{array}$$

$$345,3\dots \sin(\varphi + \psi) = 333,68847''$$

$$\text{Hiezu das zweite Glied von (25):} \quad +0,00014$$

$$\begin{aligned} (\varphi - \psi) &= 333,68861'' \\ &= 5' 33,68861'' \end{aligned}$$

$$\text{Ursprünglich gegeben } \varphi = 52^\circ 30' 16,70000''$$

$$\text{Also: } \psi = 52^\circ 24' 43,01139'' \quad (26)$$

Dieses stimmt hinreichend mit dem schärfer berechneten Wert (23).

Die Frage, wie genau man den Näherungswert $\varphi + \psi$ haben muss, um eine gewisse Endgenauigkeit zu erreichen, kann man durch Differentieren von (25) beantworten; man findet, dass ein Fehler von $1''$ an dem Näherungswert nur einen Fehler von etwa $0,001''$ erzeugt, weshalb eine Genauigkeit von $0,1''$ im Näherungswert (wie sie die Hilfstafel Seite [58] gewährt) zur endgültigen Berechnung genügt.

Für die sphäroidischen Normal-Beispiele, welche wir in (1)—(5) § 73. S.391—392 vorangestellt haben, sind die geographischen Breiten φ und die entsprechenden reduzierten Breiten ψ die folgenden:

$\varphi = 45^\circ 0' 0''$	$\psi = 44^\circ 54' 14,67493''$	Mecklenburg	
$49^\circ 30' 0''$	$49^\circ 24' 18,83709''$		
$50^\circ 0' 0''$	$49^\circ 54' 19,82230''$		
$50^\circ 30' 0''$	$50^\circ 24' 20,91117''$		
$55^\circ 0' 0''$	$54^\circ 54' 35,31462''$		
Tübingen	$\varphi = 48^\circ 31' 12,4000''$	$\psi = 48^\circ 25' 29,6082''$	
Hornisgrinde	$\varphi = 48^\circ 36' 21,8966''$	$\psi = 48^\circ 30' 30,2280''$	
Berlin	$\varphi = 52^\circ 30' 16,7''$	$\psi = 52^\circ 24' 43,0014''$	
Königsberg	$\varphi = 54^\circ 42' 50,6''$	$\psi = 54^\circ 37' 24,7564''$	